

Cloning and Recombinant Expression of EspA as a Virulence Factor of E. coli O157:H7

Mostafa Bakhshi¹,
Firouz Ebrahimi²,
Jamil Zargan²,
Shahram Nazarian²,
Vahideh Sheikhzade³

¹ PhD Student in Nanobiotechnology, Biology Research Center, Faculty of Basic Science, Imam Hossein University, Tehran, Iran

² Assistant Professor, Department of Biology, Faculty of Basic Science, Imam Hossein University, Tehran, Iran

³ MSc in Food Science and Technology, Islamic Azad University, Quchan Branch, Quchan, Iran

(Received June 18, 2014 ; Accepted September 21, 2014)

Abstract

Background and purpose: *E. coli* O157:H7 is one of the intestinal pathogens that mediate serious damages in gastrointestinal track. The bacterium attachment in large intestine is mediated via some colonization factors mainly Type III secretion proteins that are involved in this process. Among these factors, EspA protein plays an important role in system foundation. The aim of this study was cloning and recombinant expression of EspA in order to achieve a stable construct for the protein production and using it as a vaccine candidate in future investigations.

Materials and methods: Specific primers were designed by Oligo 7 software and gene amplification was performed by PCR technique on template DNA. Enzymatic digestion and ligation were done by restriction enzymes and T4 ligase enzyme, respectively. Recombinant expression of EspA was induced by IPTG following cloning confirmation. Protein confirmation was done by Western blotting analyze.

Results: Results showed that cloning of *espA* in pET28a (+) vector was performed in an appropriate mode between expected sites. Also, EspA had good and remarkable recombinant expression after induction and the antibody used in western blotting could recognize EspA on nitrocellulose membrane.

Conclusion: Stable recombinant construct containing *espA* gene was fabricated that showed appropriate recombinant expression of protein. So, this protein could be used in future studies as a vaccine candidate against *E. coli* O157:H7.

Keywords: Intestinal pathogen, *espA* gene cloning, Recombinant expression, Western blotting

همسان سازی و بیان نو ترکیب فاکتور بیماریزای EspA مربوط به باکتری *E. coli*O157:H7

مصطفی بخشی^۱
فیروز ابراهیمی^۲
جمیل زرگان^۲
شهرام نظریان^۲
وحیده شیخ زاده^۳

چکیده

سابقه و هدف: باکتری *E. coli*O157:H7 جزء پاتوژن‌های روده‌ای می‌باشد که آسیب‌های جدی در دستگاه گوارش پدید می‌آورد. اتصال باکتری در روده بزرگ به واسطه یک سری از فاکتورهای بیماری زا صورت می‌پذیرد که پروتئین‌های ترشحی نوع ۳ نیز جزء این فاکتورها دسته‌بندی می‌شوند. در بین پروتئین‌های موجود در سیستم مذکور، پروتئین EspA نقش اصلی و مهم را در پیکره شکل‌گیری این سیستم ایفا می‌کند. هدف از انجام این تحقیق همسان‌سازی و بیان این پروتئین به شکل نو ترکیب جهت دستیابی به یک ساختار و منبع پایدار برای تولید آن به منظور بررسی‌های آینده به عنوان کاندید واکسن می‌باشد.

مواد و روش‌ها: طراحی پرایمر اختصاصی برای ژن *espA* توسط نرم‌افزار Oligo 7 انجام شد و تکثیر ژن توسط واکنش PCR از روی DNA الگو صورت پذیرفت. واکنش‌های هضم آنزیمی و الحاق ژن درون وکتور بیانی pET28a(+)
انجام شد. پس از تأیید همسان سازی ژن مورد نظر، بیان نو ترکیب پروتئین EspA با استفاده از القاء گر مصنوعی IPTG صورت پذیرفت. آنالیز وسترن بلات نیز برای تأیید پروتئین EspA صورت پذیرفت.

یافته‌ها: همسان سازی ژن *espA* درون وکتور pET28a(+) به شکل مناسب بین جایگاه‌های مربوطه صورت پذیرفت و پروتئین EspA پس از القاء، بیان نو ترکیب مناسب و قابل توجهی را نشان داد. آنتی‌بادی مورد استفاده در وسترن بلات نیز توانست به شکل مناسبی EspA را شناسایی کند.

استنتاج: ساختار نو ترکیب پایدار محتوی ژن *espA* تولید گردید که بیان نو ترکیب قابل توجهی از پروتئین را نشان داد. بنابراین پروتئین EspA را می‌توان در مطالعات آینده برای بررسی میزان ایمن‌سازی علیه *E. coli* O157:H7 مورد بررسی قرار داد.

واژه های کلیدی: پاتوژن روده‌ای، همسان سازی ژن *espA*، بیان نو ترکیب، وسترن بلات

مقدمه

جزء دسته پاتوژن‌های EHEC محسوب می‌شود و میکروارگانیزی است که از طریق فرآورده‌های غذایی آلوده و شیر غیر پاستوریزه به انسان منتقل می‌شود (۴،۳).

سویه‌های بیماری‌زای باکتری *E. coli* پاتوژن‌های خطرناکی هستند که ابتلا به آن‌ها آسیب‌های متعددی را برای بیمار ایجاد می‌کند (۲،۱). باکتری *E. coli*O157:H7

E-mail: febrhimi@ihu.ac.ir

مؤلف مسئول: فیروز ابراهیمی - تهران: اتوبان شهید بابایی، دانشگاه امام حسین (ع)، گروه و مرکز تحقیقات زیست‌شناسی

۱. دانشجوی دکتری نانوبیوتکنولوژی، مرکز تحقیقات زیست‌شناسی، دانشکده و پژوهشکده علوم پایه، دانشگاه امام حسین (ع)، تهران، ایران

۲. استادیار، گروه زیست‌شناسی، دانشکده و پژوهشکده علوم پایه، دانشگاه امام حسین (ع)، تهران، ایران

۳. کارشناسی ارشد تکنولوژی و علوم غذایی، دانشگاه آزاد اسلامی، واحد قوچان، گروه علوم و صنایع غذایی، قوچان، ایران

تاریخ دریافت: ۱۳۹۳/۳/۲۸ تاریخ ارجاع جهت اصلاحات: ۱۳۹۳/۴/۱۷ تاریخ تصویب: ۱۳۹۳/۶/۳۰

پژوهش با استفاده از تکنولوژی DNA نوترکیب، اقدام به همسان‌سازی و بیان نوترکیب پروتئین EspA شد.

مواد و روش‌ها

طراحی پرایمر برای ژن *espA* مربوط به باکتری *E. coli o157:H7*

توالی آمینواسیدی EspA از پایگاه NCBI با عدد دسترسی (ZP_02797355) استخراج شد و پس از برگرداندن توالی آمینواسیدی به توالی نوکلئوتیدی توسط نرم‌افزار ترجمه معکوس (۱۳) و بررسی توالی ژن در نرم‌افزار NEBcutter (۱۴)، جایگاه‌های برشی *BamHI* و *HindIII* به ترتیب در انتهای ۵ پرایمرهای پیشرو و پیرو در نظر گرفته شد. پرایمرهای اختصاصی برای این ژن با استفاده از نرم‌افزار Oligo 7 طراحی شد. توالی پرایمرها عبارت بودند از:

پرایمر پیشرو:

TAATGGATCCATGGCTGACATGAAC

پرایمر پیرو:

CTTCAAGCTTTTACTTACCCAGAGAGTAGC

دمای ذوب (Tm) پرایمرهای پیشرو و پیرو به ترتیب ۶۸/۵ و ۶۸/۹ درجه سانتی‌گراد بود. نظر به این که برش مستقیم محصول PCR توسط آنزیم‌های محدودال‌اثر مد نظر بود، لذا تعداد ۴ نوکلئوتید نیز در پایانه‌های ۵ هر دو پرایمر مد نظر قرار گرفت. هم‌چنین به منظور پایان فرآیند ترجمه از روی mRNA ژن مذکور، توالی مربوط به کدون خاتمه نیز بر روی پرایمر پیرو قرار گرفت.

تکثیر ژن *espA* توسط تکنیک PCR

از پلاسمیدی که دارای یک ژن کایمر محتوی توالی *espA* بود، به عنوان الگو استفاده گردید. پلاسمید مذکور به روش لیز قلیایی استخراج شد و پس از تعیین غلظت آن توسط دستگاه پیکودراپ، میزان ۰/۵ میکرولیتر از محلول محتوی پلاسمید به عنوان الگو در واکنش

سالانه بیش از ۵ میلیون مرگ و میر خصوصاً در کودکان زیر ۵ سال به واسطه آلودگی به این پاتوژن گزارش می‌شود (۵). لانه‌گزینی باکتری مذکور در لوله گوارش به واسطه یک سری از عوامل و فاکتورها تحت کنترل جزایر پاتوژنیسته انجام می‌شود (۶،۵). این جزایر دسته‌جات ژنتیکی خارج کروموزومی هستند که حاوی عوامل بیماری‌زای مختلفی از قبیل ژن‌های مهاجم/ اتصال و سیستم ترشحی نوع III و IV می‌باشند. پاتوژن از این سیستم‌ها برای ترشح مولکول‌های مجری که سلول میزبان را متأثر می‌سازند استفاده می‌کند (۷). سیستم ترشحی نوع III در ترشح پروتئین‌های مختلف از جمله Tir، EspA، EspB و EspD نقش ایفا می‌کند (۵). بسیاری از این فاکتورهای بیماری‌زا مستقیماً به سلول میزبان تحویل داده می‌شوند. به عنوان مثال EspA با ایجاد ساختار رشته‌ای روی سطح باکتری به سلول میزبان پل می‌زند (۶). EspA توسط ژن *espA* کد می‌شود و روی سطح باکتری ساختاری فیلامنتی برای تزریق EspB، EspD و Tir تشکیل می‌دهد (۳). بر طبق گزارشات، بیماری‌زایی موتانت‌های *espA* و *espB* بسیار کاهش می‌یابد (۸). چسبندگی اولیه باکتری به سلول‌های اپی تلیال توسط پلیلی تشکیل‌دهنده دسته (Bundle forming pilus) انجام می‌شود که آن را پلاسمید کد می‌کند. سپس پروتئین EspA با شکل دادن یک کانال شرایط را برای انتقال سایر فاکتورهای دخیل در لانه‌گزینی باکتری فراهم می‌کند (۶). به دلیل اهمیت اینتیمین و EspA در روند بیماری‌زایی، این دو پروتئین به عنوان شاخص‌های بیماری‌زایی EHEC محسوب می‌شوند (۹).

مطالعات متعددی برای تولید این پروتئین به شکل نوترکیب به تنهایی (۱۰) و هم‌چنین به صورت کایمر با سایر عوامل دخیل در لانه‌گزینی (۱۱،۱۰) و بیماری‌زایی باکتری (۱۲-۱۰) صورت پذیرفته است. با توجه به نقش پروتئین EspA در بیماری‌زایی باکتری *E. coli O157:H7* می‌توان آن را به عنوان کاندیدی مناسب برای واکنش‌های علیه عامل مذکور در نظر گرفت. در این

واکنش الحاق ژن درون وکتور با استفاده از آنزیم T4 DNA Ligase با در نظر گرفتن غلظت حداقلی پلاسمید به میزان ۵۰ نانوگرم و با به کارگیری فرمول ۱ برای محاسبه غلظت ژن مورد استفاده با حجم ۳ برابر برای واکنش الحاق صورت پذیرفت. اجزای واکنش با هم ترکیب شدند و واکنش به صورت شبانه در دمای ۸ درجه سانتی گراد انکوبه شد (۱۵).

فرمول ۱:

$$\times 3 \times \frac{\text{number of gene base pair}}{\text{number of vector base pair}} = 50 \times \text{غلظت ژن مورد استفاده در واکنش الحاق بر حسب نانوگرم}$$

تراریخت نمودن سلول های میزبان بیانی توسط کاست ساخته شده:

سلول های میزبان مستعد باکتری *E. coli* BL21(DE3) استاندارد به روش شیمیایی با استفاده از نمک های $MgCl_2$ و $CaCl_2$ تهیه شدند. سپس ۱۰ میکرولیتر از محصول واکنش الحاق به صورت شوک حرارتی به سلول های مستعد منتقل شد و سلول های میزبان تراریخت شده بر روی محیط کشت LB آگار حاوی آنتی بیوتیک کانامایسین ($80 \mu g/ml$) کشت داده شدند و به صورت شبانه در دمای ۳۷ درجه سانتی گراد انکوبه شدند (۱۵).

تأیید همسان سازی ژن

تعداد ۳ کلونی از کلون های رشد یافته بر روی محیط انتخابی LB آگار انتخاب شدند و به محیط LB پراثر حاوی آنتی بیوتیک کانامایسین ($80 \mu g/ml$) منتقل شدند. پس از این که جذب نوری سلول ها در طول موج 600 nm به 0.8 رسید، استخراج پلاسمید به روش لیز قلبیایی صورت پذیرفت. برای تأیید همسان سازی ژن *espA* درون وکتور *pET28a(+)* از سه تکنیک PCR، واکنش هضم آنزیمی و هم چنین توالی یابی توسط پرایمرهای عمومی T7 اپراتور و ترمیناتور استفاده گردید.

بررسی بیان پروتئین *espA*:

پس از تأیید همسان سازی ژن *espA*، از کلون های

زنجیره های پلیمرز توسط آنزیم *Taq DNA* پلیمرز مورد استفاده قرار گرفت. هم چنین پرایمرهای پیشرو و پیرو هر کدام به میزان 0.4 میکومول، نمک $MgSO_4$ با غلظت 2 میلی مولار، $dNTP$ با غلظت 0.4 میلی مولار و 2.5 میکرولیتر بافر آنزیم پلیمرز با غلظت $10X$ برای حجم نهایی واکنش 25 میکرولیتری مورد استفاده واقع شدند. گرادیان دمایی 55 تا 65 درجه برای فرآیند اتصال پرایمرها (دمای *Annealing*) برای بهینه سازی واکنش PCR انجام شد. پس از بهینه سازی PCR، از آنزیم *Pfu DNA* پلیمرز برای تکثیر ژن مذکور به منظور جلوگیری از جهش های ناخواسته استفاده گردید. چرخه های PCR به شرح زیر بود: واسرشتگی اولیه در دمای 95 درجه طی 5 دقیقه، واسرشتگی ثانویه در دمای 94 درجه ظرف 30 ثانیه، اتصال پرایمرها به رشته الگو در دمای 62 درجه طی 40 ثانیه، گسترش رشته جدید به واسطه فعالیت آنزیم پلیمرز در دمای 72 درجه به مدت 45 ثانیه و نهایتاً یک مرحله گسترش رشته در دمای 72 درجه به مدت 5 دقیقه. لازم به ذکر است که تعداد چرخه ها برای تکثیر از مرحله واسرشتگی ثانویه تا مرحله گسترش رشته در حال سنتز 34 تکرار بود (۱۵).

همسان سازی محصول PCR در وکتور *pET28a(+)*

پس از تکثیر قطعه ژنی و تخلیص آن توسط کیت شرکت Bioneer، واکنش هضم آنزیمی به صورت دو گانه بر روی محصولات PCR و هم چنین پلاسمید *pET28a(+)* توسط آنزیم های محدودالآثر *BamHI* و *HindIII* انجام شد و واکنش های برشی به مدت 6 ساعت در دمای 37 درجه انکوبه شدند. پس از اتمام زمان هضم آنزیمی، فرآیند مذکور با انتقال تیوپ های محتوی اجزای واکنش به دمای 80 درجه به مدت 10 دقیقه غیرفعال شدند. پلاسمید برش خورده بر روی ژل آگارز با دمای ذوب پایین الکتروفورز شد تا باند برش خورده پلاسمید به شکل اختصاصی استخراج گردد.

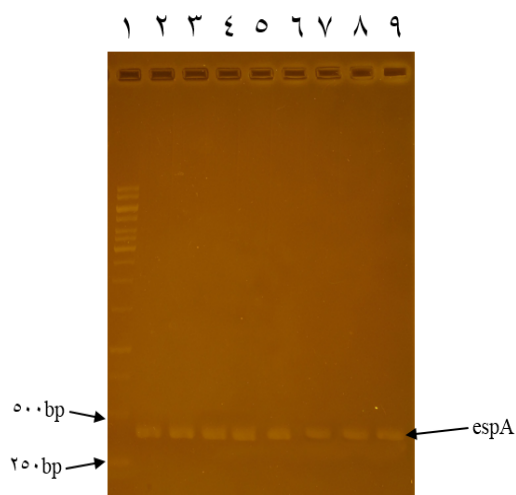
پس از تخلیص محصولات حاصل از واکنش های هضم آنزیمی بر روی رشته های DNA و پلاسمید،

HRP (تريس ۵۰ میلی مولار، ۶ میلی گرم DAB و ۱۰ میکرولیتر H_2O_2) انجام شد. در نهایت برای توقف واکنش رنگ پذیری، محلول محتوی سوبسترا از محیط با شستشوی کاغذ توسط ddH₂O حذف گردید (۱۶).

یافته ها

واکنش زنجیره ای پلیمراز ژن *espA* با استفاده از پرایمرهای اختصاصی:

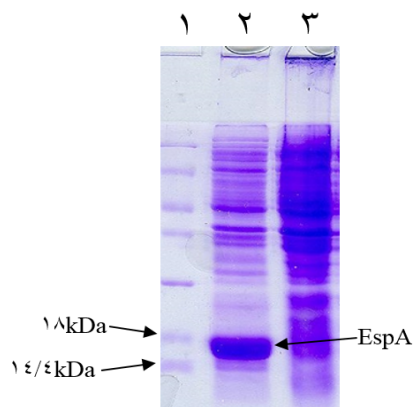
پس از این که پرایمرهای پیشرو و پیرو برای ژن مورد نظر توسط نرم افزار 7 Oligo طراحی شد، با استفاده از نرم افزار Blast میزان اختصاصیت آن‌ها برای ژن *espA* بررسی شد و مشخص گردید که هر دو پرایمر با اختصاصیت بالا ژن مورد نظر را در بانک ژنی شناسایی می کنند. پس از دریافت پرایمرها و آماده سازی آن‌ها، بهینه سازی واکنش PCR برای تکثیر ژن *espA* در دماهای اتصال مختلف پرایمر به رشته الگو توسط آنزیم DNA *Taq* پلیمراز صورت پذیرفت (تصویر شماره ۱). نظر به این که آنزیم مذکور صحت همسان سازی بالایی ندارد، لذا تکثیر نهایی رشته الگو توسط آنزیم *Pfu* DNA پلیمراز انجام شد.



تصویر شماره ۱: نتیجه تکثیر ژن *espA* بر روی ژل آگارز ۱ درصد: ردیف ۱: نشانگر مولکولی DNA. ردیف های ۲ تا ۹: محصول PCR در گرادیان دمایی ۵۵ تا ۶۵ درجه سانتی گراد.

رشد کرده در محیط LB برات به صورت شبانه، میزان ۵۰ میکرولیتر به ۵ میلی لیتر محیط LB برات تازه و استریل حاوی آنتی بیوتیک کانامایسین ($40 \mu\text{g/ml}$) منتقل گردید. نظر به این که بیان ژن در سویه BL21(DE3) تحت کنترل اپرون lac می باشد، پس از این که جذب نوری محیط کشت در طول موج 600 nm به حدود 0.5 رسید، از ماده القاء گر مصنوعی ایزوپروپیل- β -D-1-گالاکتوپیرانوزید (IPTG) برای القای بیان ژن مورد نظر استفاده شد. نتایج بیان بر روی ژل SDS-PAGE ۱۴ درصد بررسی گردید (۱۶).

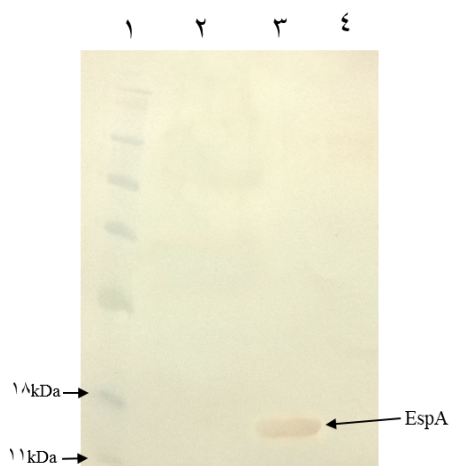
تأیید پروتئین نو ترکیب EspA توسط لکه گذاری وسترن: به منظور تأیید پروتئین EspA نو ترکیب از روش ایمنوبلات وسترن با استفاده از آنتی بادی پلی کلونال علیه یک آنتی ژن کایمر در برگرفته پروتئین EspA به عنوان یکی از زیر واحدهای آن استفاده گردید. ابتدا عصاره سلولی نمونه القاء شده و القاء نشده و هم چنین پروتئین BSA بر روی ژل SDS-PAGE ۱۴ درصد الکتروفورز شدند. سپس فرآیند لکه گذاری وسترن بر روی کاغذ نیتروسولولز با استفاده از سیستم لکه گذاری BioRad و بافر مخصوص آن (گلایسین ۱۹۲ میلی مولار، تریس ۲۵ میلی مولار، SDS ۱ درصد و متانول ۲۰ درصد با $\text{pH}=8.3$) صورت پذیرفت. بلاک نمودن کاغذ نیتروسولولز به صورت شبانه با استفاده از محلول بلاکینگ حاوی ۵ درصد شیر خشک انجام شد. نمونه پس از ۳ بار شستشو در بازه های زمانی ۱۰ دقیقه ای توسط بافر PBST، در معرض آنتی بادی پلی کلونال مذکور با رقت $1/3500$ به مدت ۱ ساعت در دمای 37°C درجه سانتی گراد قرار گرفت. فرآیند شستشو مانند قبل تکرار شد و این بار از آنتی بادی پلی کلونال موشی کانجوگه با غلظت $1/1500$ برای پوشاندن سطح کاغذ در دمای 37°C درجه و به مدت ۱ ساعت استفاده گردید. پس از تکرار فرآیند شستشو، واکنش رنگ پذیری باند مربوط به EspA با افزودن سوبسترای آنزیم کانجوگه



تصویر شماره ۳: نتیجه بیان پروتئین EspA بر روی ژل SDS-PAGE ۱۴ درصد. ردیف ۱: نشانگر مولکولی پروتئین. ردیف ۲: نمونه القاء شده توسط IPTG. ردیف ۳: نمونه القاء نشده (کنترل منفی).

آنالیز وسترن بلا تینگ:

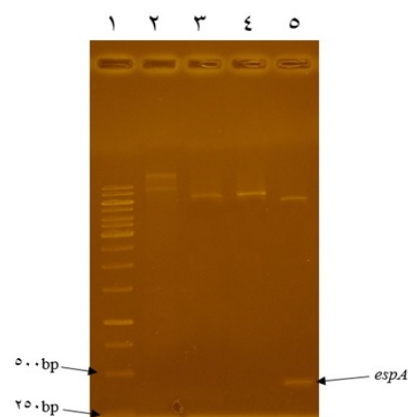
در پایان به منظور بررسی صحت پروتئین نو ترکیب EspA از آنالیز وسترن بلات استفاده شد. برای این منظور باند رنگ گرفته بر روی کاغذ نیتروسولوز در مقایسه با نمونه القاء نشده و نمونه کنترل آنتی بادی (پروتئین BSA) بررسی شد و مشخص گردید که باند رنگی مربوط به پروتئین EspA در جایگاه درست خودش در مقابل باند ۱۸ کیلو دالتونی نشانگر مولکولی پروتئین قرار گرفته است (تصویر شماره ۴).



تصویر شماره ۴: نتیجه وسترن بلا تینگ پروتئین EspA بر روی کاغذ نیتروسولوز. ردیف ۱: نشانگر مولکولی پروتئین. ردیف ۲: نمونه القاء نشده. ردیف ۳: نمونه القاء شده توسط IPTG. ردیف ۴: پروتئین BSA به عنوان کنترل واکنش ایمونوبات

الحاق ژن *espA* در وکتور بیانی *pET28a(+)*

با انجام واکنش های هضم آنزیمی دو گانه توسط آنزیم های *BamHI* و *HindIII* بر روی محصولات PCR و وکتور *pET28a(+)*، با فراهم آمدن پایانه های چسبنده برای ژن و وکتور، فرآیند الحاق ژن درون MCS وکتور توسط آنزیم DNA T4 لیگاز انجام شد. پس از انتقال کلون های ترا ریخت شده توسط حامل نو ترکیب به محیط کشت مایع و استخراج پلاسمید، با استفاده از واکنش های هضم آنزیمی توسط آنزیم های محدود الاثر مذکور (تصویر شماره ۲)، PCR توسط پرایمرهای اختصاصی ژن و توالی یابی مشخص گردید که ژن با موفقیت درون وکتور همسان سازی شده است.



تصویر شماره ۲: بررسی هضم آنزیمی بر روی وکتور نو ترکیب *pET28a-espA*: ردیف ۱: نشانگر مولکولی DNA. ردیف ۲: وکتور *pET28a-espA* برش نخورده. ردیف ۳: هضم وکتور توسط آنزیم *BamHI*. ردیف ۴: هضم وکتور توسط آنزیم *HindIII*. ردیف ۵: هضم دو گانه وکتور توسط آنزیم های *BamHI* و *HindIII*.

بررسی بیان نو ترکیب پروتئین EspA

با القای بیان پروتئین تحت کنترل اپرون *lac* در شرایط انکوباسیون استاندارد، سلول های القاء شده و القاء نشده جمع آوری و شکسته شدند و پس از افزودن بافر نمونه حاوی SDS ۱۰ درصد بر روی ژل SDS-PAGE ۱۴ درصد الکتروفورز شدند. نتایج نشان داد که بیان پروتئین EspA در نمونه القاء شده در مقایسه با نمونه القاء نشده بسیار مناسب و چشمگیر می باشد (تصویر شماره ۳).

بحث

استفاده می‌شود و دارای مزایای فراوانی از جمله بیان سریع، راندمان بالای محصول و هزینه تولید کم می‌باشد (۲۴). نظر به این که میزبانی که برای بیان نوترکیب پروتئین EspA مد نظر قرار گرفته بود، باکتری *E. coli* BL21(DE3) بود، لذا از وکتور pET28a(+) که با سیستم بیانی میزبان سازگار است استفاده گردید (۲۴). لازم به ذکر است که بیان پروتئین در این دسته از وکتورها تحت کنترل اپرون قوی *lac* می‌باشد که با به کارگیری آنالوگ مصنوعی آلولاکتوز (IPTG) موفق به بیان پروتئین EspA در مقدار بسیار مناسب در قیاس با نمونه القا نشده شدیم. *Gu* و همکاران نیز از همین سامانه برای همسان سازی و بیان EspA استفاده کردند و نتایج خوبی را به دست آوردند (۱۱،۱۰). همسان سازی و بیان این پروتئین به صورت الحاق شده با سایر فاکتورهای دخیل در بیماری‌زایی عامل EHEC به شکل موفقیت‌آمیز انجام شده و منجر به شکل‌گیری ساختارهای مناسبی برای بیان پایدار آن شده است (۱۲،۱۱). در پایان به منظور اطمینان از صحت پروتئین بیان شده از واکنش کیفی لکه‌گذاری وسترن با استفاده از آنتی‌بادی پلی‌کلونال علیه آنتی ژنی کایمر که EspA جزء زیر واحدهای آن می‌باشد، استفاده گردید و مشخص گردید که آنتی‌بادی مذکور توانست به خوبی و بدون هیچ گونه واکنش کراس EspA را شناسایی کند.

سپاسگزاری

این پژوهش بخشی از پایان‌نامه دوره دکتری تخصصی رشته نانوبیوتکنولوژی مصطفی بخشی می‌باشد که هزینه‌های آن توسط دانشگاه امام حسین (ع) تأمین گردیده است. لازم می‌دانم از تمامی اساتید و مسئولین محترم حوزه پژوهش دانشگاه کمال تشکر و قدردانی را بیان دارم.

باکتری‌های پاتوژن روده‌ای عوامل خطرناکی هستند و چنانچه تمهیداتی مناسب برای مقابله با آن‌ها در نظر گرفته نشود، می‌توانند عواقب جدی و جبران ناپذیری را در فرد آلوده ایجاد کنند (۱۹-۱۷). با استفاده از تکنولوژی DNA نوترکیب می‌توان بخش‌هایی از این عوامل که در بروز بیماری‌زایی به واسطه آن‌ها نقش اساسی دارند، را کلون و بیان نمود تا به عنوان کاندید واکسن میزان ایمن سازی آن‌ها علیه آن پاتوژن مورد بررسی قرار گیرند (۲۰). *E. coli* سویه O157:H7 نیز با تولید توکسین منجر به آسیب‌های جدی به دیواره لوله گوارش و در شکل وخیم‌تر آسیب به کلیه افراد مبتلا به آن می‌شود (۲۱). لذا در این مطالعه با بررسی فاکتورهای دخیل در لانه‌گزینی پاتوژن مذکور مشخص گردید که پروتئین EspA شالوده‌مجرایی را شکل می‌دهد که منجر به انتقال سایر فاکتورهای بیماری‌زا به سلول میزبان می‌شوند. از جمله فاکتورهای بیماری‌زای دیگر از باکتری *E. coli* O157:H7 که به شکل نوترکیب تولید و به‌عنوان کاندید واکسن بررسی شده‌اند، می‌توان به فاکتور *FepA*، اینتیمین، زیر واحدهای مختلف توکسین‌های شیگا و *Tir* اشاره نمود (۲۲،۲۳). به منظور تولید پروتئین EspA به شکل نوترکیب نیاز به طراحی و تهیه کاست ژنی بود. لذا توالی دقیق پروتئین EspA از بانک ژنی اقباس گردید و پس از برگرداندن توالی آمینو اسیدی به توالی نوکلئوتیدی، طراحی پرایمرهای اختصاصی برای آن انجام شد. پس از تهیه پرایمرها، تکثیر ژن مذکور به کمک تکنیک PCR صورت پذیرفت و در ادامه با انجام واکنش‌های هضم آنزیمی بر روی محصول PCR و وکتور، فرآیند الحاق ژن درون وکتور با موفقیت انجام شد.

باکتری *E. coli* یکی از اولین و وسیع‌ترین میزبان‌هایی است که برای تولید پروتئین‌های هترولوگ

References

1. Jafari A, Aslani MM, Bouzari S. Escherichia

coli: a brief review of diarrheagenic

- pathotypes and their role in diarrheal diseases in Iran. *Iran J Microbiol* 2012; 4(3): 102-117.
2. Nazarian S, Gargari SL, Rasooli I, Alerasol M, Bagheri S, Alipoor SD. Prevalent phenotypic and genotypic profile of enterotoxigenic *Escherichia coli* among Iranian children. *Jpn J Infect Dis* 2014; 67(2): 78-85.
 3. Bidet P, Mariani-Kurkdjian P, Grimont F, Brahim N, Courroux C, Grimont P, et al. Characterization of *Escherichia coli* O157:H7 isolates causing haemolyticuraemic syndrome in France. *J Med Microbiol* 2005; 54(Pt 1): 71-75.
 4. Mousavi SL, Rasooli I, Nazarian S, Amani J. Simultaneous detection of *Escherichia coli* O157:H7, toxigenic *Vibrio cholerae*, and *Salmonella typhimurium* by multiplex PCR. *Iran J Clin Infect Dis* 2009; 4(2): 97-103.
 5. Eklund M. Enterohemorrhagic *Escherichia coli* (EHEC) Findings from Humans in Finland. Helsinki Publications of the National Public Health Institute. 2005.
 6. Croxen MA, Finlay BB. Molecular mechanisms of *Escherichia coli* pathogenicity. *Nat Rev Microbiol* 2010; 8(1): 26-38.
 7. Mecsas JJ, Strauss EJ. Molecular Mechanisms of Bacterial Virulence: Type III Secretion and Pathogenicity Islands. *Emerg Infect Dis* 1996; 2(4): 270-288.
 8. Wirth T, Falush D, Lan R, Colles F, Mensa P, Wieler LH, et al. Sex and virulence in *Escherichia coli*: an evolutionary perspective. *Mol Microbiol* 2006; 60(5): 1136-1151.
 9. Schroeder GN, Hilbi H. Molecular pathogenesis of *Shigella* spp.: controlling host cell signaling, invasion, and death by type III secretion. *Clin Microbiol Rev* 2008; 21(1): 134-156.
 10. Gu J, Liu Y, Yu S, Wang H, Wang Q, Yi Y, et al. Enterohemorrhagic *Escherichia coli* trivalent recombinant vaccine containing EspA, intimin and Stx2 induces strong humoral immune response and confers protection in mice. *Microbes Infect* 2009; 11(10-11): 835-841.
 11. Gu J, Ning Y, Wang H, Xiao D, Tang B, Luo P, et al. Vaccination of attenuated EIS-producing *Salmonella* induces protective immunity against enterohemorrhagic *Escherichia coli* in mice. *Vaccine* 2011; 29(43): 7395-7403.
 12. Cheng Y, Feng Y, Luo P, Gu J, Yu S, Zhang W, et al. Fusion expression and immunogenicity of EHEC EspA-Stx2A1 protein: implications for the vaccine development. *J Microbiol* 2009; 47(4): 498-505.
 13. Stothard P. The Sequence Manipulation Suite: Java Script programs for analyzing and formatting protein and DNA sequences. *Biotechniques* 2000; 28(6): 1102-1104.
 14. Vincze T, Posfai J, Roberts RJ. NEBcutter: a program to cleave DNA with restriction enzymes. *Nucleic Acids Res* 2003; 31(13): 3688-3691.
 15. Sambrook J, Russell DW. Molecular cloning laborator manual. 3th ed. New York: CSHL Press; 2001.
 16. Bollag DM, Rozycki DM, Edelstein SJ. Protein Methods. 2th ed. New York: Wiley-Liss; 1996.
 17. Reis RS, Horn F. Enteropathogenic *Escherichia coli*, *Samonella*, *Shigella* and *Yersinia*: cellular aspects of host-bacteria interactions in enteric diseases. *Gut Pathog* 2010; 2(1): 1-12.
 18. Nazarian S, Gargari SL, Rasooli I, Hasannia S, Pirooznia N. A PLGA-encapsulated chimeric protein protects against adherence

- and toxicity of enterotoxigenic *Escherichia coli*. *Microbiol Res* 2014; 169(2-3): 205-212.
19. Nazarian S, Mousavi Gargari SL, Rasooli I, Amani J, Bagheri S, Alerasool M. An in silico chimeric multi subunit vaccine targeting virulence factors of enterotoxigenic *Escherichia coli* (ETEC) with its bacterial inbuilt adjuvant. *J Microbiol Methods* 2012; 90(1): 36-45.
 20. Demain AL, Vaishnav P. Production of recombinant proteins by microbes and higher organisms. *Biotechnol Adv* 2009; 27(3): 297-306.
 21. Gyles CL. Shiga toxin-producing *Escherichia coli*: An overview. *J Anim Sci* 2007; 85(13supp): 45-62.
 22. Larrie-Bagha SM, Rasooli I, Mousavi-Gargari SL, Rasooli Z, Nazarian S. Passive immunization by recombinant ferric enterobactin protein (FepA) from *Escherichia coli* O157. *Iran J Microbiol* 2013; 5(2): 113-119.
 23. Garcia-Angulo VA, Kalita A, Torres AG. Advances in the development of enterohemorrhagic *Escherichia coli* vaccines using murine models of infection. *Vaccine* 2013; 31(32): 3229-3235.
 24. Baneyx F. Recombinant protein expression in *Escherichia coli*. *Curr Opin Biotechnol* 1999; 10(5): 411-421.